

BAB III

DESAIN PARAMETER PROSES

3.1. Parameter dan bahan.

Pada tugas akhir ini, desain dan proses pembuatan transistor bipolar npn menggunakan bahan silikon epitaksi nn^+ yang telah tersedia di LEN. Rangkaian desain parameter proses ini digunakan untuk transistor dengan :

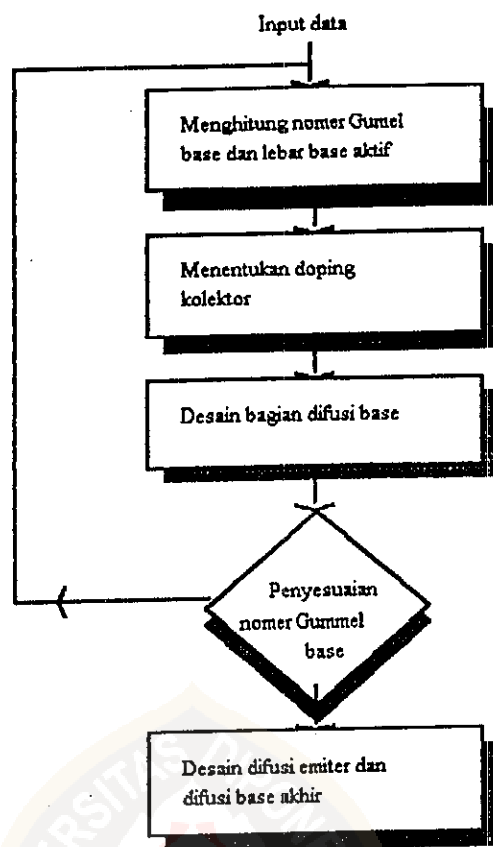
Penguatan arus emiter dibumikan, $\beta = 80$

Frekuensi anguler alpha, $\omega_{\text{ab}} = 2\pi \times 160 \times 10^6 \text{ rad s}^{-1}$

Frekuensi penguatan, $f_T = 110 \text{ Mhz}$

Figure of merit, $GE = 7,91 \times 10^{13} \text{ cm}^{-4}\text{s}$

Prosedur dalam mencari perhitungan parameter proses digambarkan secara diagram alur pada gambar 3.1. Pertama adalah menghitung nomer gumel base GB dan lebar base aktif XB, langkah selanjutnya menentukan besar ketidakmurnian dari lapisan epitaksi yang merupakan daerah kolektor, selanjutnya desaian bagian difusi base, dan penyesuaian Q_{Bo}/q merupakan langkah pilihan dimana Q_{Bo}/q yang disesuaikan pada langkah ini mendekati pada perhitungan sebelumnya maka langkah desaian difusi emiter dan difusi base akhir dapat dilaksanakan.



Gambar 3.1 Diagram alur untuk desain proses transistor bipolar (1).

Spesifikasi-spesifikasi bahan yang digunakan dalam pembuatan transistor bipolar npn adalah sebagai berikut :

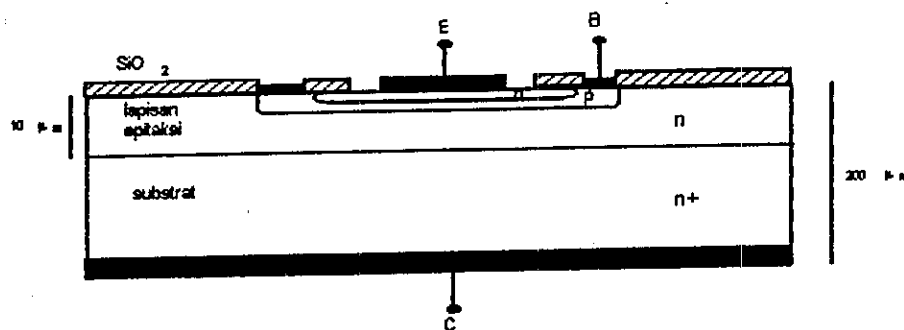
Tebal lapisan epitaksi (t_{epi}) = $10 \mu\text{m}$

Resistivitas lapisan epitaksi (ρ_{epi}) = $4 \Omega\text{cm}$

Resistivitas substrat (ρ_{substrat}) = $0,015 \Omega\text{cm}$

Tebal wafer/semikonduktor (t_{wafer}) = $200 \mu\text{m}$

Orientasi wafer = $<111>$



Gambar 3.2 Tampang melintang dari transistor bipolar npn

Proses yang digunakan dalam pembuatannya adalah proses DDE (Dobel Difusi Epitaksi), dimana Emite dan Base didifusi dengan tungku difusi pada daerah epitaksi dan untuk daerah kolektor merupakan bagian lapisan epitaksi di bawah base (gambar 3.2)

3.2. Menghitung nomer gummel base dan lebar base aktif.

Efisiensi emiter γ merupakan perbandingan elektron emiter yang memasuki base dari daerah muatan ruang sambungan emiter-base dengan arus emiter total.

$$\gamma = \frac{I_{\text{diff}, B}}{I_{\text{diff}, B} + I_{\text{diff}, E} + I_{\text{rek}}} \quad (3.1)$$

$$\gamma = \frac{1}{1 + G_B / G_E}$$

Figure of merit (GE) merupakan perkalian antara β dengan nomer gummel GB⁽⁶⁾. Sehingga

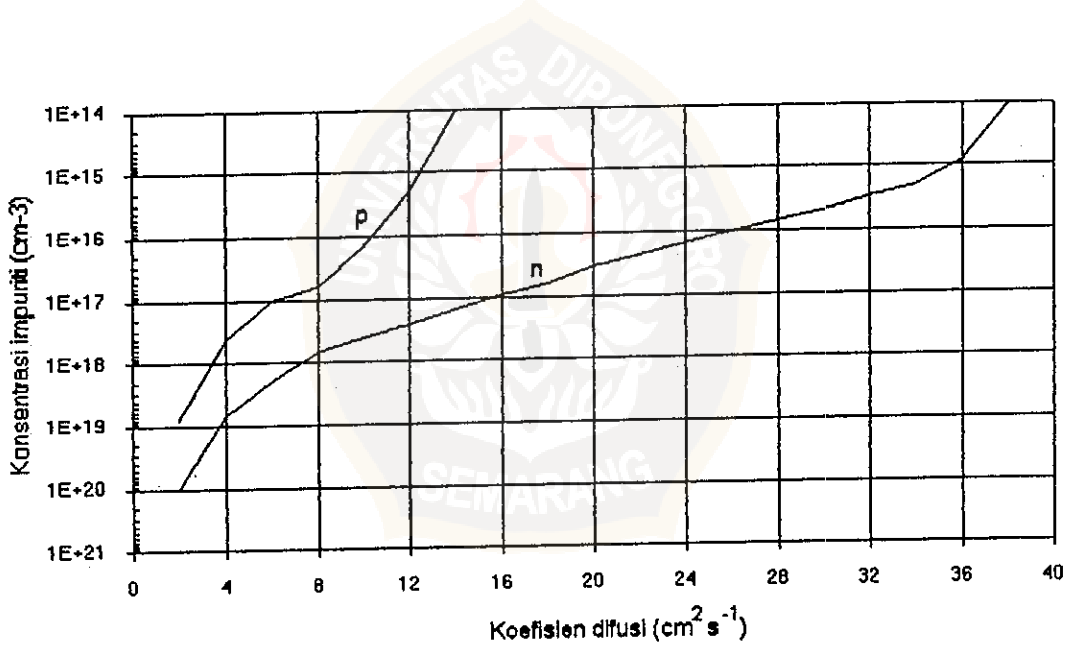
$$GE = \beta \times GB \quad (3.2)$$

$$G_B = G_E / \beta$$

$$G_B = \frac{7,91 \times 10^{13} \text{ cm}^{-4}\text{s}}{80}$$

$$G_B = 9,89 \times 10^{11} \text{ cm}^{-4}\text{s}$$

Nomer gummel GB merupakan besaran yang menunjukkan keefektifan daerah base terhadap konsentrasi dan lebar aktif base. Besarnya konsentrasi doping base pada transistor adalah 10^{17} cm^{-3} ⁽¹⁾, dari gambar 3.3 yang merupakan data antara mobilitas pembawa dan koefisien difusi sebagai fungsi dari konsentrasi ketidakmurnian total didapat koefisien rata-rata difusi pembawa minoritas dalam base, DnB adalah $15 \text{ cm}^2\text{s}^{-1}$.



Gambar 3.3 Mobilitas pembawa dan koefisien difusi sebagai fungsi total dari konsentrasi doping pada 300°K ⁽¹⁾

Nomer Gummel (GB) dapat pula diperoleh dari mengintegral konsentrasi doping base NaB dan membaginya dengan koefisien difusi rata-rata base DnB.

$$GB = \frac{1}{DnB} \int NaB(x) dx = \frac{Q_{Bo}}{q DnB}, \quad (3.3)$$

dimana Q_{Bo} = muatan dalam base

$$\frac{Q_{Bo}}{q} = GB \cdot DnB$$

$$= 9,89 \times 10^{11} \text{ cm}^{-4} \text{s} \cdot 15 \text{ cm}^2 \text{s}^{-1}$$

$$= 1,48 \times 10^{13} \text{ cm}^{-2}$$

dan lebar base aktif dapat dicari dengan,

$$X_B = \pi \left(\frac{\bar{D}_{NB}}{2\omega_{ab}} \right)^{1/2} \quad \dots \dots \dots (3.4)$$

$$= 3,14 \left(\frac{15}{2 \times 2 \pi \times 160 \times 10^6} \right)^{\frac{1}{2}}$$

$$= 2,8 \times 10^{-4} \text{ cm}$$

Untuk menentukan harga konsentrasi elektron pada daerah kolektor dapat dicari dengan bantuan grafik 1 pada lampiran 1, yaitu untuk $p_{epi} = 4 \Omega\text{cm}$ konsentrasi $n = 1.3 \times 10^{15} \text{ cm}^{-3}$.

3.3. Desain bagian difusi base.

Untuk menentukan konsentrasi permukaan dari difusi base NOB dapat ditentukan dengan menggunakan grafik 2 pada lampiran 1 , untuk sambungan base-kolektor $X_{jc} = 4,7 \mu\text{m}$, $RSB = 96 \Omega$, dan konsentrasi latar $NB =$ konsentrasi kolektor $N_{dC} = 1,3 \times 10^{15} \text{ cm}^{-3}$, maka $NOB = 4 \times 10^{18} \text{ cm}^{-3}$. Penentuan X_{jc} dilakukan dengan cara *try and error* karena untuk langkah berikutnya X_{jc} diteliti kembali. Selanjutnya dihitung bagian difusi base yaitu koefisien difusi untuk drive-in base D_{2B} dikalikan dengan waktu drive-in t_{2B} dengan rumus sebagai berikut.

$$N(X_j, t) = NOB \exp\left(\frac{-X_{jc}^2}{4D_{2B}t_{2B}}\right) = N_{dc}$$

$$4 \times 10^{18} \text{ cm}^{-3} \exp\left(\frac{-(4,7 \times 10^{-4})^2}{4D_{2B}t_{2B}}\right) = 1,3 \times 10^{15} \text{ cm}^{-3}$$

$$\ln \exp\left(\frac{-(4,7 \times 10^{-4})^2}{4D_{2B}t_{2B}}\right) = \ln \frac{1,3 \times 10^{15}}{4 \times 10^{18}}$$

$$\frac{-2,1 \times 10^{-7}}{4D_{2B}t_{2B}} = \ln 0,000325$$

$$D_{2B}t_{2B} = \frac{-2,1 \times 10^{-7}}{4 \ln 0,000325}$$

$$D_{2B}t_{2B} = 6,6 \times 10^{-9} \text{ cm}^2$$

3.4. Penyesuaian nomer gummel base.

Pada bagian ini adalah pengujian dari X_{jc} pada bagian 3.3 yaitu untuk $X_{jc} = 4,7 \mu\text{m}$. Bila $Q_{Bo/q}$ terlalu besar dibandingkan dengan $Q_{bo/q}$ yang dihasilkan pada bagian 3.2, maka harga β lebih kecil dari yang didesain sehingga X_{jC} perlu ditambah. Bila $Q_{Bo/q}$ terlalu kecil dibandingkan dengan $Q_{Bo/q}$ pada bagian 3.2, maka harga β lebih besar dari yang didesain sehingga X_{jC} perlu dikurangi (bagian 3.2 perlu diulang). Sebelum melakukan penyesuaian nomer gummel kita tentukan lokasi dari X_{EB} dan X_{CB} , sebagai batas dari base aktif. Kurva dari Lawrence and Warner diterapkan dalam hal ini (Gambar 3.5). Lebar daerah muatan ruang total base-kolektor ditentukan dari gambar 3.5.a dengan $V = 0.7$ Volt. Gambar 3.5.b merupakan perbandingan X_1/X_T dan X_2/X_T , dimana X_1 menunjukkan sisi yang di doping tinggi dan X_2 menunjukkan sisi yang di doping rendah. Untuk $N_{dc} = 1,3 \times 10^{15} \text{ cm}^{-3}$ maka $V/NB = 0,7/1,3 \times 10^{15} \text{ V/cm}^{-3} = 5 \times 10^{15} \text{ V/cm}^{-3}$. Didapat harga X_T adalah $1 \mu\text{m}$.

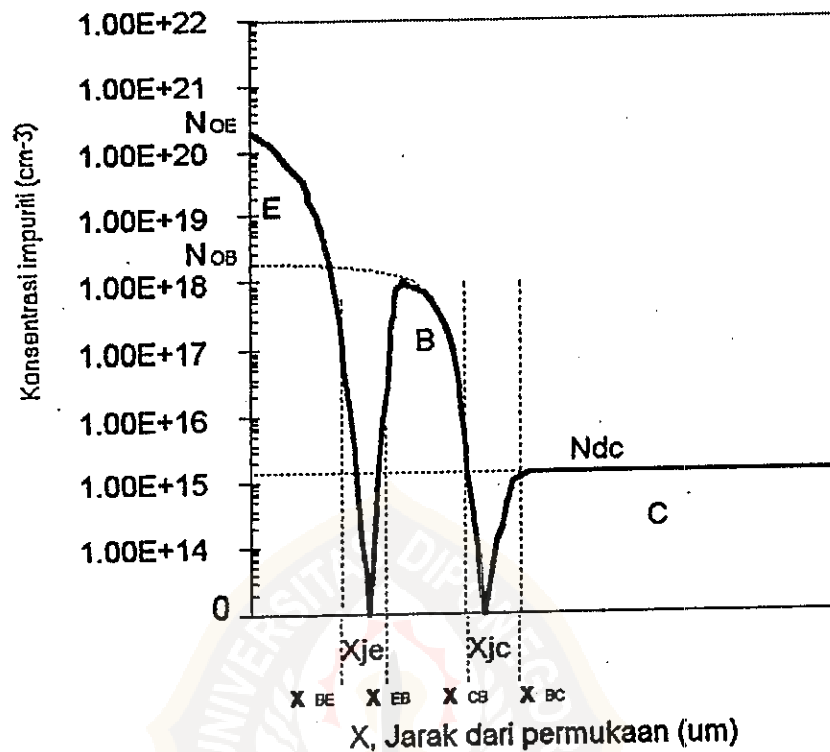
$$\begin{aligned} X_T &= 1 \quad X_1/X_T = 0,38 \text{ dan } X_2/X_T = 0,62 \\ X_1/X_T &= 0,38 & X_2/X_T &= 0,62 \\ X_1 &= 1,0,38 & X_2 &= 0,62 \cdot 1 \\ &= 0,38 \mu\text{m} & &= 0,62 \mu\text{m} \end{aligned}$$

jika

$$X_{jc} = 4,7 \mu\text{m}, \text{ maka } X_{CB} = X_{jc} - X_1$$

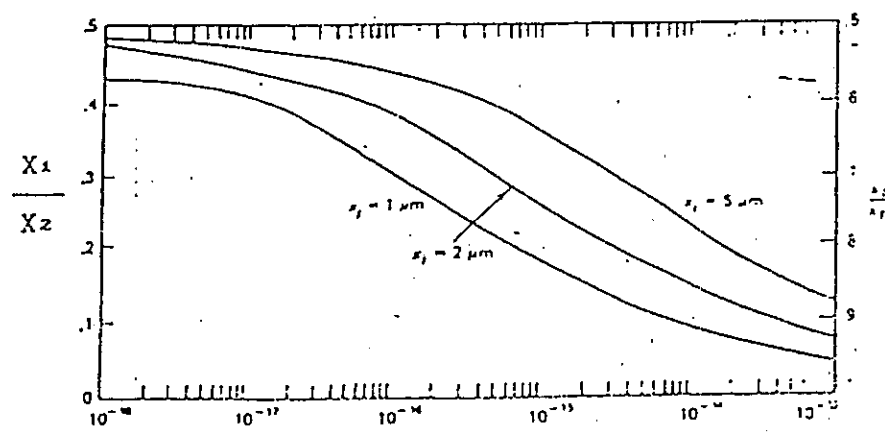
$$\begin{aligned} X_{CB} &= 4,7 \mu\text{m} - 0,38 \mu\text{m} \\ &= 4,32 \mu\text{m} \end{aligned}$$

$$\begin{aligned} X_{EB} &= X_{CB} - X_B \\ &= 4,32 \mu\text{m} - 2,8 \mu\text{m} \\ &= 1,52 \mu\text{m} \end{aligned}$$

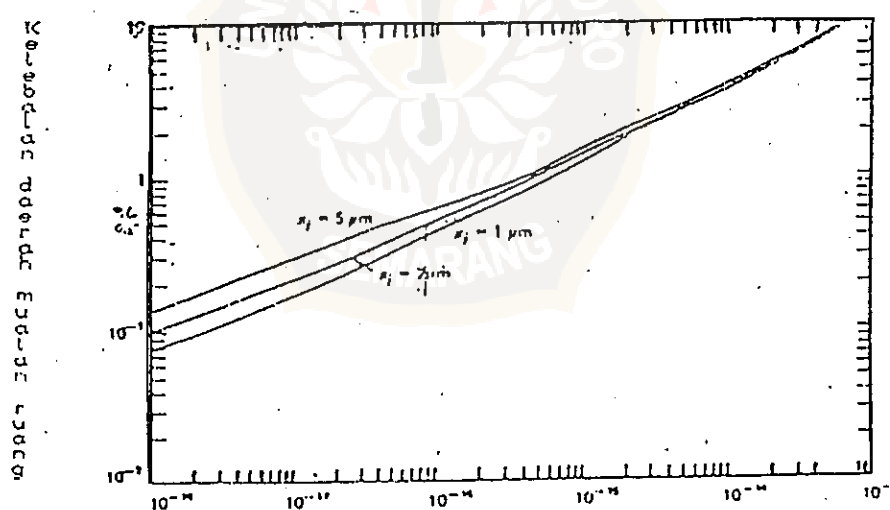


Gambar 3.4 Gambaran profil doping transistor⁽¹⁾

Gambar 3.4 menunjukkan profil doping dari transistor, X_{EB} dan X_{CB} masing-masing menunjukkan jarak dari permukaan sampai pada daerah muatan ruang emiter-base dan daerah muatan ruang kolektor-base. $X_{CB} - X_{EB}$ merupakan lebar base aktif atau X_B dan $X_{JC} - X_{JE}$ lebar base metalurgik.



V/Nb , Tegangan terhadap konsentrasi kolektor (V/cm^{-3})



V/Nb , Tegangan terhadap konsentrasi kolektor (V/cm^{-3})

Gambar 3.5 Ketebalan daerah muatan ruang sebagai fungsi dari tegangan untuk bentuk sambungan pn oleh difusi Gaussian (a) Total lebar lapisan depleksi (b) Perbandingan X_1/X_T dan X_2/X_T (14)

Perhitungan muatan dalam base per muatan elektron Q_{Bo}/q adalah :

$$Q_{Bo}/q = \int_{x_{mB}}^{x_{cB}} N_{aB}(x) dx$$

$$Q_{Bo}/q = \int_{x_{mB}}^{x_{cB}} \left[N_{aB} \exp\left(\frac{-X_{jc}^2}{4Dt}\right) - N_{dC} \right] dx \quad (3.5)$$

Karena harga X_{jc} pada perhitungan sebelumnya ditetapkan, maka pada bagian ini perhitungan dibantu dengan bantuan kurva luasan normal⁽¹⁰⁾.

$$Q_{Bo}/q = 2(\pi Dt)^{1/2} N_{aB} \left[\int_0^{t_2} \left(\frac{1}{2p} \right)^{1/2} \exp\left(\frac{-y^2}{2}\right) dy - \int_0^{t_1} \left(\frac{1}{2p} \right)^{1/2} \exp\left(\frac{-y^2}{2}\right) dy \right]$$

$$- \int_{x_{mB}}^{x_{cB}} N_{dC} dx \quad (3.6)$$

dimana

$$t_1 = \frac{X_{EB}}{(2Dt)^{1/2}} \text{ dan } t_2 = \frac{X_{CB}}{(2Dt)^{1/2}}$$

X_{EB} dan X_{CB} masing-masing merupakan jarak dari permukaan ke sisi daerah muatan ruang emiter-base dan kolektor-base yang terlihat dalam gambar 3.4. Dari persamaan (3.15) luas antara X_{EB} dan X_{CB} pada gambar 3.4 didapat dengan pendekatan sebagai berikut :

$$\text{Luas} = \int_0^{t_2} \left(\frac{1}{2\pi} \right)^{1/2} \exp\left(\frac{-y^2}{2}\right) dy$$

$$- \int_0^{t_1} \left(\frac{1}{2\pi} \right)^{1/2} \exp\left(\frac{-y^2}{2}\right) dy$$

atau

$$\text{Luas} = \frac{\exp\left(-\frac{y_2^2}{2}\right)}{-y_2\sqrt{2\pi}} - \frac{\exp\left(-\frac{y_1^2}{2}\right)}{-y_1\sqrt{2\pi}} \quad \dots \dots \dots \quad (3.7)$$

$$= \text{Area}(t_2) - \text{Area}(t_1)$$

$$= -9,9 \times 10^{-2} - (-0,011)$$

$$= 0,011$$

sehingga

$$Q_{B0}/q = 2(\pi \cdot 6,6 \times 10^{-9})^{1/2} \cdot 4 \times 10^{18} (0,011)$$

$$\approx 1,3 \times 10^{15} \cdot (4,32 - 1,52) \times 10^4$$

$$= 2(6,3 \times 10^{12}) - 3,64 \times 10^{11}$$

$$= 1,23 \times 10^{13} \text{ cm}^{-2}$$

Nilai ini mendekati nilai yang diinginkan pada perhitungan awal untuk Q_{B0}/q yaitu $1,48 \times 10^{13} \text{ cm}^{-2}$, sehingga X_{jC} tetap.

$$X_{jC} = 4,7 \mu\text{m}$$

$$NOB = 4 \times 10 \text{ cm}^{18} \text{ cm}^{-3}$$

$$D_{2BT2B} = 6,6 \times 10^{-9} \text{ cm}^2$$

$$Q_{B0}/q = 1,48 \times 10^{13} \text{ cm}^{-2}$$

3.5. Desain difusi emiter dan difusi base akhir.

Tahap ini adalah mendefinisikan difusi emiter dan difusi base. Telah diketahui nilai-nilai yang telah ada :

Sambungan kolektor-base, $X_{jc} = 4,7 \mu\text{m}$

Daerah muatan ruang kolektor-base, $X_{jc} - X_{cb} = 0,38 \text{ } \mu\text{m}$.

Lebar base, $X_B = 2,8 \mu\text{m}$

Daerah muatan ruang emiter-base, $X_{BE} - X_{JE} = 0,1 \text{ } \mu\text{m}$

Dan sambungan emiter-base, $X_E = (4,7 - 0,38 - 2,8 - 0,1) \mu\text{m} = 1,42 \mu\text{m}$

Besar konsentrasi ketidakmurnian emiter dengan konsentrasi base pada sambungan emiter-base adalah sama maka,

$$\begin{aligned} N_{dE}(X_{jE}) &= N_{dB}(X_{jE}) - N_{dC}(X_{jE}) \\ N_{dE} &= N_{dB} \exp \left(\frac{-X_{jE}^3}{4D_{2B}t_{2B}} \right) - N_{dC} \\ &= 4 \times 10^{18} \exp \left(\frac{- (1,42 \times 10^{-4})^2}{4 (6,6 \times 10^{-9})} \right) - 1,3 \times 10^{15} \\ &= 1,86 \times 10^{18} \text{ cm}^{-3} \end{aligned}$$

Dari persamaan kuantitas dimana α , D₁, D₂, dan N₂(x₀) bergantung pada temperatur yaitu :

$$R = R_0 \exp \left(- \frac{E_a}{kT} \right) \dots \dots \dots \quad (3.8)$$

dimana E_a = Energi aktifasi

R_0 = Konstanta yang ditentukan pada tabel 1 (lampiran 2)

$$D_2 = 2,49 \times 10^{-5} \text{ cm}^2 \text{s}^{-1} \exp\left(\frac{-2,0}{8,617 \times 10^{-5}(950 + 273,1)}\right)$$

$$= 1,429 \times 10^{-13} \text{ cm}^2 \text{s}^{-1}$$

dan $\alpha = 1,1 \times 10^{-8}$

$$N_2(x_0) = 7,57 \times 10^{21}$$

erfc z_1 didapat dengan mensubstitusikan nilai-nilai di atas

$$\operatorname{erfc} z_1 = \frac{2 N(X_{jE}, t)}{N_2(x_0)} \exp\left[\left(\frac{\alpha}{2 D_2}\right)\left(\frac{3 X_{jE}}{4}\right)\right] \quad (3.9)$$

$$\operatorname{erfc} z_1 = \frac{2(1,86 \times 10^{18})}{7,57 \times 10^{21}} \exp\left[\left(\frac{1,1 \times 10^{-8}}{2(1,42 \times 10^{-13})}\right)\left(\frac{3(1,4 \times 10^{-4})}{4}\right)\right]$$

$$= 0,03$$

dengan menggunakan grafik 4 pada lampiran 1 didapat $z_1 = 1,5$

Untuk waktu difusi emiter adalah ⁽¹⁾ :

$$t_E = \left(\frac{3\alpha X_{jE} + 2 D_2 z_1^3}{9\alpha^2} \right) + \left[\left(\frac{3\alpha X_{jE} + 2 D_2 z_1^2}{9\alpha^2} \right)^2 - \frac{X_{jE}^2}{9\alpha^2} \right]^{1/2} \quad (3.10)$$

$$t_E = \frac{3,1,1 \times 10^{-8} \cdot 1,42 \times 10^{-4} + 2,1,43 \times 10^{-13}(1,5)^2}{9(1,1 \times 10^{-8})^2}$$

$$+ \left\{ \frac{3,1,1 \times 10^{-8} \cdot 1,4 \times 10^{-4} + 2,1,43 \times 10^{-13}(1,5)^2}{9(1,1 \times 10^{-8})^2} \right\}^{1/2}$$

$$- \frac{(1,4 \times 10^{-4})^2}{9(1,1 \times 10^{-8})^2} \right\}^{1/2}$$

$$= 6577 \text{ detik}$$

$$= 110 \text{ menit}$$

Dari Gambar 5 pada lampiran 1 koefisien difusi boron pada suhu 1000°C adalah $2,0 \times 10^{-14} \text{ cm}^2/\text{s}$ dan koefisien difusi boron pada suhu $1100^{\circ}\text{C} = 5,98 \times 10^{-14} \text{ cm}^2/\text{s}$.

$$Dt = D_{28t_{2B}} - D_{1000} t_E \dots \quad (3.11)$$

$$= 6,6 \times 10^{-9} - 2,0 \times 10^{-14} (110.60)$$

$$= 6,47 \times 10^{-9} \text{ cm}^2$$

dengan $D = 5,98 \times 10^{-13} \text{ cm}^2/\text{s}^{-1}$ pada suhu 1100°C maka

$$t_{1000} = \frac{6,47 \times 10^{-9}}{5,98 \times 10^{-13}}$$

$$= 10819 \text{ detik}$$

$$= 180 \text{ menit}$$

Predeposisi boron untuk difusi base memperhitungkan kelarutan padat (solid solubility) difusi. Koefisien difusi efektif dalam hal ini dapat dipakai sebagai pendekatan yang mungkin.

$$D_{\text{eff}} = \left(\frac{1,225}{z} \right)^2 \left(\frac{N_{01}}{n_i} \right) D_t \dots \quad (3.12)$$

Dimana

$$D_i = D_i^0 + D_i^+$$

$$D_i = D_0 \exp \left(-\frac{E_a}{kT} \right) \text{ dari tabel 1}$$

$$D_i^0 = 1,3 \times 10^{-15} \text{ cm}^2 \text{s}^{-1}$$

$$D_i^+ = 2,52 \times 10^{-15} \text{ cm}^2 \text{s}^{-1}$$

$$D_i^- = 3,87 \times 10^{-15} \text{ cm}^2 \text{s}^{-1}$$

Dimana D_{eff} = koefisien difusi efektif

D_i = koefisien difusi intrisik

D_i^0 = koefisien difusi intrisik untuk muatan netral

D_i^- = koefisien difusi intrisik untuk muatan positif

Kelarutan padat untuk Boron suhu 900°C dari gambar 7 pada lampiran 1 No1
 $= 1,0 \times 10^{20} \text{ cm}^{-3}$

$$N_d/\text{No}_1 = 1,3 \times 10^{15} : 1 \times 10^{20}$$

$$= 0,00001$$

dari gambar 4 lampiran 1 didapat $z = 3,15$

$n_i = 3,8 \times 10^{18}$ pada suhu 900°C , dari grafik 5 pada lampiran.

$$D_{eff} = \left(\frac{1,225}{z} \right)^2 \left(\frac{\text{No}_1}{n_i} \right) D_i$$

$$= \left(\frac{1,225}{3,15} \right)^2 \left(\frac{1 \times 10^{20}}{3,8 \times 10^{18}} \right) 3,87 \times 10^{-15}$$

$$= 1,54 \times 10^{-14} \text{ cm}^2 \text{s}^{-1}$$

Waktu predepositi

$$N_{OB} = \left(\frac{2 N_{O1}}{\pi} \right) \left(\frac{D_{1B} t_{1B}}{D_{2B} t_{2B}} \right)^{1/2}$$

$$\left(\frac{N_{OB}}{2 N_{O1}} \right)^2 = \left(\frac{D_{1B} t_{1B}}{D_{2B} t_{2B}} \right)$$

$$\left(\frac{\pi \cdot 4 \times 10^{18}}{2(1 \times 10^{20})} \right)^2 = \left(\frac{D_{eff1B}}{6,6 \times 10^{-9}} \right)$$

$$t_{1B} = 1660 \text{ detik}$$

$$t_{1B} = 28 \text{ menit}$$

Tabel 2. Standart proses transistor bipolar npn

Nilai yang diinginkan	$\beta = 80$	$\omega_a = 2\pi \times 160 \times 10^6 \text{ rad s}^{-1}$	
Dimensi	$X_{JC} = 4,70 \mu\text{m}$	$X_{epi} = 10 \mu\text{m}$	
	$X_{JE} = 1,42 \mu\text{m}$	$X_B = 2,8 \mu\text{m}$	
	$RSB = 96/\square$		
Proses difusi	$T (\text{ }^\circ\text{C})$	$t (\text{menit})$	$NO (\text{cm}^{-3})$
Base			
Predepositi	1000	28	
Drive-in	1100	180	$4,0 \times 10^{18}$
Emiter	1000	110	2×10^{20}

3.6. Perhitungan luas emiter

Profil doping transistor bipolar berpengaruh besar pada perkiraan penguatan arus emiter dibumikan β , tegangan breakdown pada junction BVCEO, dan respon frekuensi f_T . Geometri permukaan merupakan faktor yang mempengaruhi rating arus dan respon frekuensi. Frekuensi anguler alpha merupakan total waktu delay elektron dari emiter sampai kolektor . Dari persamaan (2.32) :

$$\frac{1}{\omega_{ab}} = \frac{1}{\omega_e} + \frac{1}{\omega_b} + \frac{1}{\omega_d} + \frac{1}{\omega_c} (3.13)$$

Didapat persamaan :

$$\frac{1}{\omega_{ab}} = r_e C_{Te} + \frac{X_B^2}{2,43D_{ab}} + \frac{X_m}{2v_{sc}} + r_{sc}C_{Tc} (3.14)$$

Dan dari persamaan (2.33) di dapat :

$$\frac{1}{f_T} = \frac{2\pi}{\alpha_e K_\theta} \left(r_e C_{Te} + \frac{X_B^2}{2,43D_{ab} \ln(N_{ab}/N_{dc})} + \frac{X_m}{2 v_{sc}} + r_{sc}C_{Tc} \right) (3.15)$$

$$\frac{2\pi}{\alpha_e K_\theta} r_e C_{Te} = \frac{1}{f_T} \left(\frac{2\pi}{\alpha_e K_\theta} \right) \left(\frac{X_B^2}{2,43D_{ab} \ln(N_{ab}/N_{dc})} + \frac{X_m}{2 v_{sc}} + r_{sc}C_{Tc} \right)$$

$$C_{Te} = \frac{\alpha_e K_\theta}{f_T r_e 2\pi} \left(\frac{2\pi}{\alpha_e K_\theta} \right) \left(\frac{X_B^2}{2,43D_{ab} \ln(N_{ab}/N_{dc})} + \frac{X_m}{2 v_{sc}} + r_{sc}C_{Tc} \right) \frac{1}{r_e 2\pi}$$

dengan

$$C_{Te} = Ae \sqrt{\frac{q x_{e0} N_{ab}}{V_T}} ; \quad Ae = \text{Luas emiter}$$

$$A_e = \frac{\alpha_o K_\theta}{Z f_T r_e 2\pi} \left(\frac{2\pi}{\alpha_o K_\theta} \right) \left(\frac{X_B^2}{2,43 D_{nB} \ln(N_{ab}/N_{dc})} + \frac{X_m}{2 v_{ac}} + r_{se} C_{rc} \right) \frac{1}{r_e 2\pi Z}. \quad (3.16)$$

dengan

$$Z = \sqrt{\frac{q x_{se} N_{ab}}{V_T}}$$

dimana

$$\begin{aligned} V_T &= \frac{kT}{q} \ln \left[\frac{N_{ab}(X_{je}).N_{ae}}{n^2} \right] \\ &= 0,026 \ln \left[\frac{2,3 \times 10^{18} \cdot 9 \times 10^{20}}{(1,5 \times 10^{10})^2} \right] \\ &= 1,14 \text{ Volt} \end{aligned}$$

$$\begin{aligned} Z &= \sqrt{\frac{(1,6 \times 10^{-19})(12)(8,85 \times 10^{-14})(1,5 \times 10^{18})}{1,14}} \\ &= 4,7 \times 10^7 \end{aligned}$$

$$\alpha = 0,98$$

$$K_\theta = \text{faktor fase lebih} = 0,7 \quad (2)$$

$$r_e = \text{resistansi emiter} = 5,2 \text{ ohm}$$

$$x_m = \text{lebar daerah muatan ruang} = 4,5 \times 10^{-4} \text{ cm}$$

$$r_{se} C_{rc} = \rho_c W_c \sqrt{\frac{q x_{se} N_{ab}}{V_T}}$$

dengan

$$\rho_c = \text{resistivitas daerah kolektor} = 4 \Omega\text{cm}$$

$$W_c = \text{jarak antara t epi sampai } X_{jc} = 10 \mu\text{m} - 4,7 \mu\text{m} = 5,3 \mu\text{m}$$

$$r_{sc} C_{TC} = \rho_c W_c \sqrt{\frac{q \times s_0 N_{ab}}{V_T}}$$

$$= 0,6 \cdot 5,3 \times 10^{-4} \sqrt{\frac{(1,6 \times 10^{-19})(12)(8,85 \times 10^{-14})(1,3 \times 10^{15})}{0,78}}$$

$$= 2,67 \times 10^{-11}$$

sehingga

$$A_e = \frac{\alpha_o K_B}{Z f_T r_e 2\pi} \left(\frac{2\pi}{\alpha_o K_B} \right) \left(\frac{X_B^2}{2,43 D_{ab} \ln(N_{ab}/N_{dc})} + \frac{X_m}{2 v_{sc}} + r_{sc} C_{TC} \right) \frac{1}{r_e 2\pi Z}$$

$$A_e = \frac{0,98 \cdot 0,7}{4,7 \times 10^{-7} \cdot 5,2 \cdot 2\pi \cdot 110 \times 10^6} \cdot \left(\frac{(2,8 \times 10^{-4})^2}{2,43 \cdot 15 \ln 1,86 \times 10^{18} / 10^{10}} + \frac{4,5 \times 10^{-4}}{2(8,5 \times 10^6)} + 2,67 \times 10^{-11} \right)$$

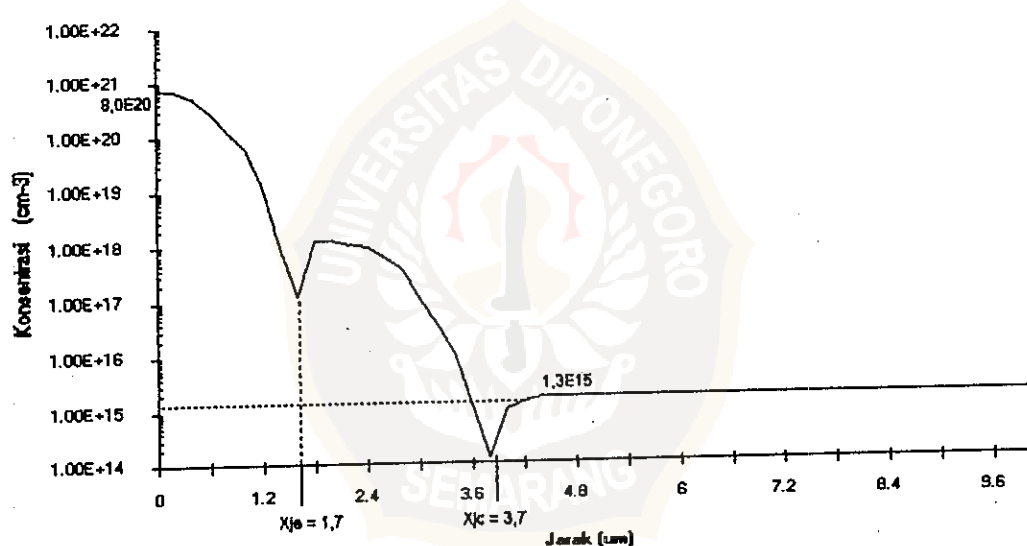
$$\frac{1}{2,6(4,7 \times 10^{-7})2\pi}$$

$$A_e = 3,8013 \times 10^{-4} \text{ cm}^2.$$

Dengan geometri emiter berbentuk lingkaran dengan diameter , 220 um, maka luas emiter mendekati 38013 um²

3.7. Hasil simulasi dengan menggunakan Suprem II.

Parameter proses yang di dapat pada tabel 3.1 disimulasikan dengan menggunakan SUPREM II. Hasil simulasi tersebut yaitu profil doping transistor diperlihatkan pada gambar 3.6. Dari gambar tersebut terlihat besar konsentrasi permukaan emiter NOE adalah $8,0 \times 10^{20} \text{ cm}^{-3}$, dengan kedalaman sambungan emiter-base $1,7 \mu\text{m}$. Kedalaman sambungan base-kolektor $3,7 \mu\text{m}$ dan untuk konsentrasi permukaan base tidak diperoleh datanya. Untuk bagian kolektor besar konsentrasinya adalah $1,3 \times 10^{15} \text{ cm}^{-3}$.



Gb.3.6 Profil doping hasil simulasi dengan menggunakan SUPREM II